

# Inhaltsverzeichnis

## **I. Einführung**

1. Qubits
2. Quantengatter mit einzelnen Qbits
3. Verschränkung und der Dichteoperator
4. Multi-Qubit-Gatter
5. Quantenteleportation

## **II. Physikalische Realisierungen: Cavity QED und Ionenfallen**

1. WW von Atom mit EM-Feld
2. Quantisierung des EM-Feldes
3. Jaynes Cummnigs Hamiltonian
4. 2-Qubit Gatter mit Jaynes Cummings-WW
5. Ionenfallen
6. QM-Beschreibung eines Ions
7. CNOT mit Ion

## **III. Quantenalgorithmen**

1. Deutsch-Jozsa-Algorithmus mit Exp.
2. Grover-Algorithmus
3. Shor-Algorithmus
4. QFT

## **IV. Dekohärenz und Quantenfehler**

1. Quantenoperationen
2. Operatorsummenzerlegung
3. Mastergleichung
4. Fehlerkorrektur
5. Fehlervermeidung

## **V. Quantensimulation**

1. Motivation
2. Simulation von Quantensystemen

## **VI. Minikonferenz**

# III. Quantenalgorithmen

Was haben wir bis jetzt gelernt?

- Qbits
  - Ein-Qbit Gatter
  - Entanglement
  - Zwei-Qbit Gatter
  - Physikalische Realisierungen
- } universeller Satz an Gattern

Was fehlt uns noch, um schwierige Rechnungen durchzuführen? Algorithmen

Und was heißt überhaupt schwierig?

Die Komplexitätsklasse eines Problems hängt vom Algorithmus ab, bzw. von den benötigten Ressourcen (Rechenoperationen, Speicher)

- P: Die Ressourcen steigen polynomial in  $(\log x)$ =Anzahl Stellen der Zahl.  
Bsp: Multiplikation
- NP: kann in polynomialer Zeit *überprüft* werden, also schnell. Kann zum Rechnen aber auch sehr schwierig, z.B. exponentiell in  $\log x$  sein.
- NP-vollständiges Problem: Jedes Problem in NP muss in polynomialer Zeit darauf zurückgeführt werden können.
- Sicher ist:  $P \subset NP$ . Unbekannt: Ist  $P=NP$ ?

Was bringen da jetzt Quantencomputer? Neuartige Algorithmen möglich!

Bsp: Primzahlfaktorisation ist klassisch mindestens NP (oder schwerer) und exponentiell, aber mit Shor's Algorithmus in polynomialer Zeit lösbar.

Numerische Rechnungen wie Multiplikation machen wenig Sinn, da

a) banale Multiplikation z.B.  $1011 \times 1100$  ähnlich schwierig ist und Pentium schneller.

b) Rechnen mit Überlagerung, gibt zwar viele Ergebnisse, aber kann je nur eines messen. Rückschluss?  $\left( \sum_{N=0}^{2^n-1} |N\rangle \right) \times \left( \sum_{M=0}^{2^m-1} |M\rangle \right)$

Quantenalgorithmen konzentrieren sich daher auf folgende Fragestellungen:

- Suche in einer Datenbank (Orakel)
- Erkennen einer globalen Eigenschaft einer Funktion, z.B. Periode, Mittelwert. Bsp.: Deutsch-Josza, Quanten-Fourier-Transformation  $\Rightarrow$  Faktorisierung, ...
- Weitere: Zahlentheoretische Probleme (Finde eine Zahl, die ...),
  - Berechnen des Gradienten in n-Dimensionen (Jordan)
  - <http://www.its.caltech.edu/~sjordan/zoo.html>

# III.1 Deutsch Josza-Algorithmus

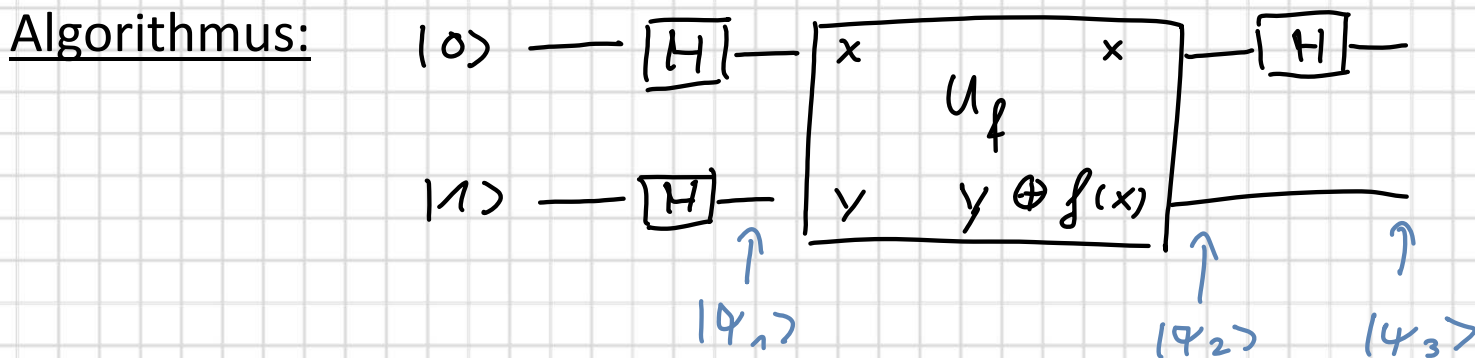
Historisch erster Quantenalgorithmus, der schneller als klassischer ist.

**Problem:** Man sieht von einer Münze nur eine Seite. Ist die andere Seite gleich (=konstant) oder anders (=balanciert)?

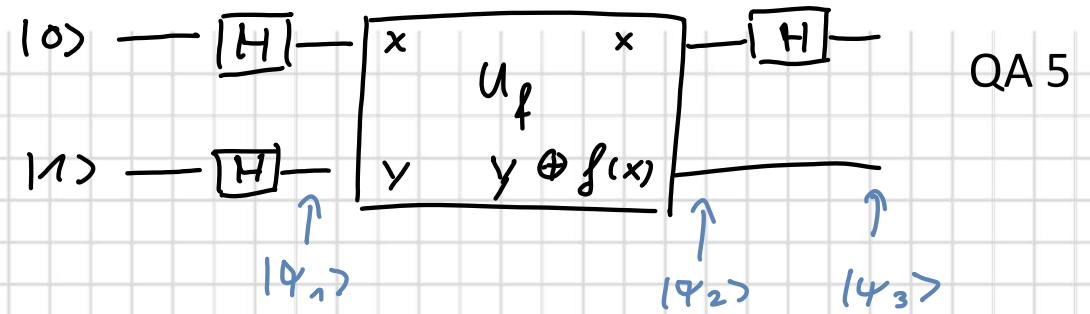
Klassische Lösung: Münze umdrehen=2 Messungen. Geht's mit QC besser?

Mathematische Darstellung:  $f(\underbrace{x \in \{0, 1\}}_{\text{Vorder/Rückseite}}) = \begin{cases} 0 & \text{Kopf} \\ 1 & \text{Zahl} \end{cases}$

4 mögliche Funktionen:  $f(x)=x$  oder  $f(x)=\text{NOT } x$  „balanciert“ (2 versch. Seiten)  
 $f(x)=1, f(x)=0$  „konstant“



# Deutsch-Josza 2



$$|\psi_1\rangle = \frac{1}{2}(|0\rangle + |1\rangle) (|0\rangle - |1\rangle)$$

$$|\psi_2\rangle = \frac{1}{2}(|0, f(0)\rangle + |1, f(1)\rangle - |0, 1 \oplus f(0)\rangle - |1, 1 \oplus f(1)\rangle)$$

$$= \frac{1}{2} \begin{cases} (|0\rangle + |1\rangle) (|f(0)\rangle - |1 \oplus f(0)\rangle) & \text{für konstant } f(0) = f(1) \\ (|0\rangle - |1\rangle) (|f(0)\rangle - |1 \oplus f(0)\rangle) & \text{für balanciert } f(1) = 1 \oplus f(0) \end{cases}$$

$$|\psi_3\rangle = \frac{1}{2} \begin{cases} |0\rangle (|f(0)\rangle - |1 \oplus f(0)\rangle) & \text{für konstant } f(0) = f(1) \\ |1\rangle (|f(0)\rangle - |1 \oplus f(0)\rangle) & \text{für balanciert } f(1) = 1 \oplus f(0) \end{cases}$$

Eine einzige Messung von Qbit 1 ergibt, ob Münze 2 unterschiedliche Seiten hat („|1>“) oder nicht! Funktion  $U_f$  wird nur einmal ausgeführt.

Das letzte Hadamard Gatter sorgt also für eine geschickte Interferenz der Ergebnisse von  $U_f$ , so dass man mit einer Messung eine globale Eigenschaft von  $f(x)$  erhält.

# N+1 Qbit Deutsch-Josza Algorithmus

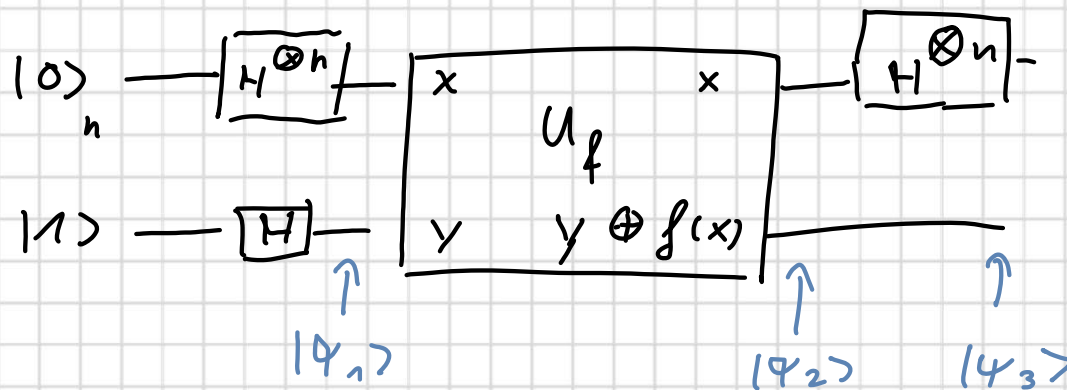
QA 6

Alice schickt Bob eine N-bit Zahl  $x$ , und Bob schickt das 1-bit Ergebnis  $f(x)$  zurück.

Er hat ein  $f(x)$  gewählt, das entweder für alle  $x$  konstant ist, oder balanciert, d.h. für eine willkürliche Hälfte der  $x$  ist  $f(x)=0$ , für die andere 1.

Alice soll rausfinden, ob Bob's Funktion  $f(x)$  konstant oder balanciert ist. Dazu braucht sie im schlechtesten Fall  $x/2+1$  Versuche ( $x$  hin, bekommt  $f(x)$  zurück).

Der Deutsch-Josza-Algorithmus schafft es mit einem Versuch!



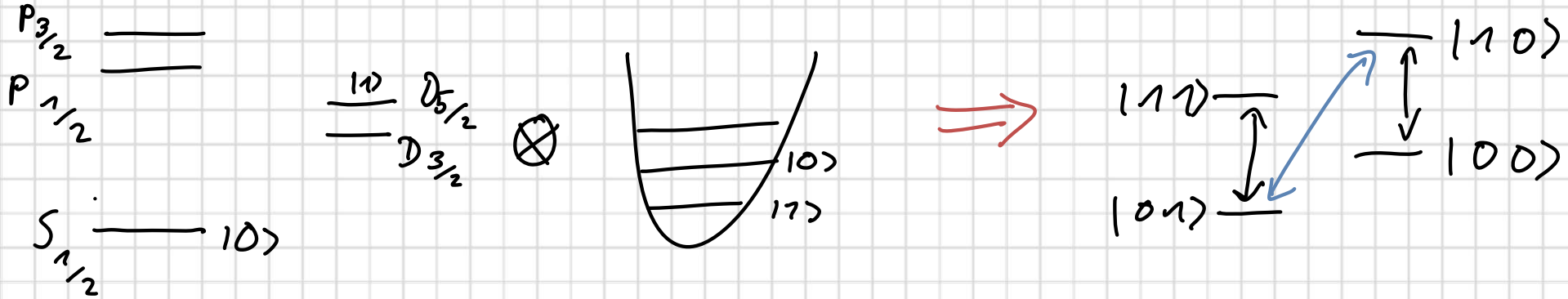
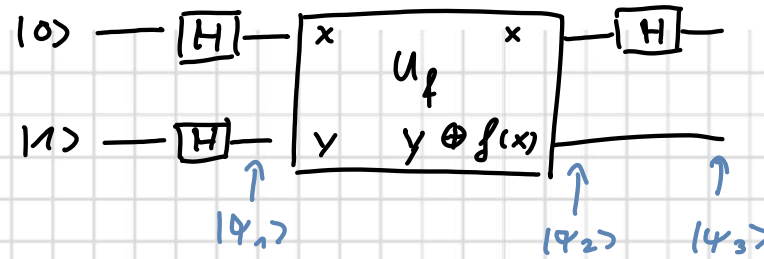
Algebra analog zu 2 Qbit, siehe Stolze & Suter 8.2.4 oder N&C 1.4.4

**Ergebnis:** Oberes Register =  $|0\rangle^{\otimes n}$  genau dann, wenn konstante Funktion

# Experiment:

QA 7

Einzelnes Ca<sup>+</sup> Ion:



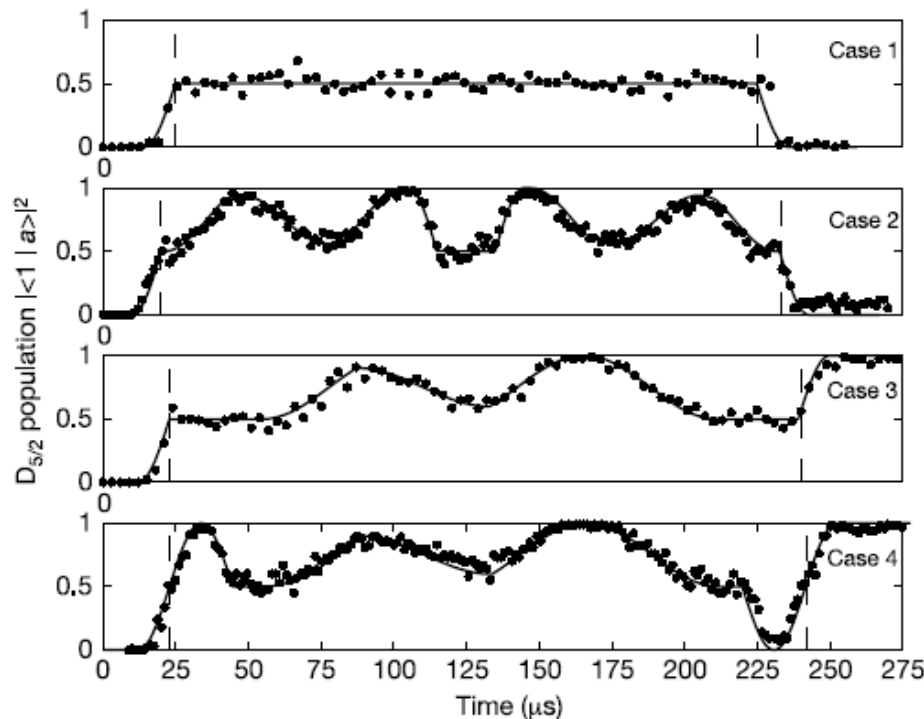
1. Präparation im Grundzustand des internen Zustands mit 0 Phononen  $\Rightarrow |01\rangle$
2. Hadamard Gatter mit Laserpulsen (für intern z.B. auf Trägerfrequenz)
3. Aber wie baut man jetzt  $U_f$ ?

	$f(x)=0$	$f(x)=1$	$f(x)=x$	$f(x)=\text{NOT } x$
Qbit 2	$y \oplus f(x) = y \oplus 0$	$y \oplus f(x) = y \oplus 1$	$y \oplus f(x) = y \oplus x$	$y \oplus f(x) = y \oplus \text{NOT } x$
$ 00\rangle$	$ 00\rangle$	$ 01\rangle$		
$ 01\rangle$	$ 01\rangle$	$ 00\rangle$		
$ 10\rangle$	$ 10\rangle$	$ 11\rangle$		
$ 11\rangle$	$ 11\rangle$	$ 10\rangle$		
$U_f=?$	<b>1</b>	<b>NOT<sub>2</sub></b>	<b>CNOT</b>	<b>Z-CNOT</b>

D.h. man wählt eine der vier Funktionen  $f(x)$ , und wendet – nach Initialisierung und Hadamard – das entsprechende Gatter  $U_f$  (z.B. CNOT im Fall  $f(x)=x$ ) an.

Dann sollte man im internen Qbit je nach  $f(x)$  mit Fluoreszenz messen:

$$|\psi_3\rangle = \frac{1}{2} \begin{cases} |0\rangle & (|f(0)\rangle - |1 \oplus f(0)\rangle) & \text{für konstant } f(0) = f(1) \\ |1\rangle & (|f(0)\rangle - |1 \oplus f(0)\rangle) & \text{für balanciert } f(1) = 1 \oplus f(0) \end{cases}$$



$f(x) = 0$

$U_f = 1$

$f(x) = 1$

$U_f = \text{NOT}_2$

$f(x) = x$

$U_f = \text{CNOT}$

$f(x) = \text{NOT } x$

$U_f = \text{Z-CNOT}$



## III.2 Grover Algorithmus

QA 9

**Problem:** Suche in einer unstrukturierten Datenbank, Beispiel Telefonbuch, wie heisst der Besitzer des Anschlusses 1234567?

**Klassisch:** weitverbreitetes Problem. Durch Ausprobieren finden, im besten Fall 1 Versuch, im schlechtesten  $N \Rightarrow$  im Mittel  $N/2$

**Grover:**  $O(N^{1/2})$  Operationen

### Hilfsmittel: Orakel-Funktion

- Wir wollen  $N=2^n$  Einträge überprüfen
- $M$  mögliche Lösungen, mit Orakel-Funktion  $f(x) = \begin{cases} 1 & \text{falls } x \text{ eine Lösung ist} \\ 0 & \text{sonst} \end{cases}$
- Ziel: Die Anzahl der Abfragen  $f(x)$  zu minimieren.
- Im QC wird  $f(x)$  durch einen unitären Operator  $O$  beschrieben:

$$O|x\rangle_{\text{Datenbank}}|q\rangle_{\text{Orakel}} = |x\rangle|q \oplus f(x)\rangle$$

$$\text{wähle Orakel Qbit, } |q_0\rangle = (|0\rangle - |1\rangle) 1/\sqrt{2}$$

$$|q_0 \oplus 1\rangle = -|q_0\rangle$$

$$O|x\rangle|q_0\rangle = (-1)^{f(x)}|x\rangle|q_0\rangle$$

da sich  $|q_0\rangle$  nicht ändert, können wir es i.F. weglassen

Stolze & Suter 8.4

Ziel des Grover-Algorithmus ist es, dass die Wahrscheinlichkeitsamplitude der vom Orakel mit „-“ gekennzeichneten Lösungen zunimmt

1) Initialisierung:  $|\psi_1\rangle = |0\rangle^{\otimes n}$  (n-Qbits)

2) Hadamard-Superposition:  $|\psi_2\rangle = H^{\otimes n} |\psi_1\rangle = 1/\sqrt{N} \sum_{x=0}^{N-1} |x\rangle$  wobei z.B. bei 3 Qbits  $|x\rangle = |3\rangle := |011\rangle$ . Dabei heißt  $|3\rangle$  Dezimal und  $|011\rangle$  Binär-Schreibweise

3) Iteration in vier Schritten:

a)  $|\psi_{k+1/4}\rangle = O |\psi_k\rangle$

b)  $|\psi_{k+1/2}\rangle = H^{\otimes n} |\psi_{k+1/4}\rangle$

c)  $|\psi_{k+3/4}\rangle = C_\pi |\psi_{k+1/2}\rangle$  mit  $C_\pi = \begin{pmatrix} 1 & 0 & 0 & \dots \\ 0 & -1 & 0 & \dots \\ 0 & 0 & -1 & \dots \\ \dots & \dots & \dots & \dots \end{pmatrix} = -\mathbf{1} + 2|0\rangle\langle 0|$   
 d.h. -1 für  $|x\rangle = |1\rangle$

a)  $|\psi_{k+1}\rangle = H^{\otimes n} |\psi_{k+3/4}\rangle$

Zusammenfassung:

$$G = H^{\otimes n} C_\pi H^{\otimes n} O \quad \text{mit } C_\pi = -\mathbf{1} + 2|0\rangle\langle 0|$$

$$= \underbrace{(-H^{\otimes n} \mathbf{1} H^{\otimes n})}_{-1} + 2 \underbrace{H^{\otimes n} |0\rangle}_{|\psi\rangle_2} \underbrace{\langle 0| H^{\otimes n}}_{\langle \psi|_2} O$$

$$= (2|\psi_2\rangle\langle \psi_2| - \mathbf{1}) O$$

# Geometrische Erklärung des Algorithmus

Definiere orthonormale Zustände:

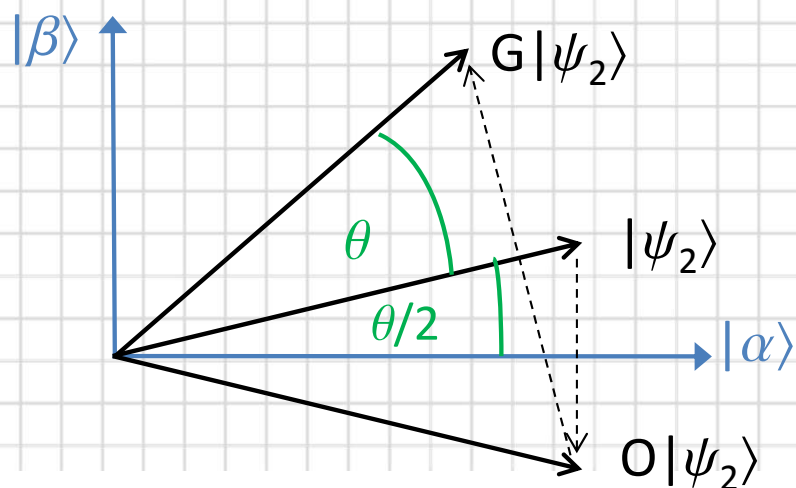
$$|\alpha\rangle = \frac{1}{\sqrt{N-M}} \sum_x (1-f(x))|x\rangle \quad \text{Überlagerung der Nicht-Lösungen}$$

$$|\beta\rangle = \frac{1}{\sqrt{M}} \sum_x f(x)|x\rangle \quad \text{Überlagerung der Lösungen}$$

$$\Rightarrow |\psi_2\rangle = \sqrt{\frac{N-M}{N}} |\alpha\rangle + \sqrt{\frac{M}{N}} |\beta\rangle = \cos\left(\frac{\theta}{2}\right) |\alpha\rangle + \sin\left(\frac{\theta}{2}\right) |\beta\rangle$$

$$O|\psi_2\rangle = \cos\left(\frac{\theta}{2}\right) |\alpha\rangle - \sin\left(\frac{\theta}{2}\right) |\beta\rangle \quad \text{Spiegelung an der } |\alpha\rangle \text{ Achse}$$

$$H^{\otimes n} C_\pi H^{\otimes N} = (2|\psi_2\rangle\langle\psi_2| - \mathbf{1}) = \underbrace{|\psi_2\rangle\langle\psi_2|}_{\text{Projektion auf } |\psi_2\rangle} - \underbrace{(\mathbf{1} - |\psi_2\rangle\langle\psi_2|)}_{\text{Projektion auf orthogonal } |\psi_2\rangle}$$



Spiegelung an \$|\psi\_2\rangle\$ - Achse

# Anzahl der Iterationen?

QA 12

$G |\psi_2\rangle = \cos(3\theta/2) |\alpha\rangle + \sin(3\theta/2) |\beta\rangle$ , nach  $k$  Anwendungen

$G^k |\psi_2\rangle = \cos((2k+1)\theta/2) |\alpha\rangle + \sin((2k+1)\theta/2) |\beta\rangle$

Für wenige Lösungen  $M \ll N \Rightarrow \theta \ll \pi$  kann man ungefähr erreichen, dass  $\frac{2k+1}{2}\theta = m\frac{\pi}{2}$  und die Wahrscheinlichkeit,  $|\beta\rangle$  zu messen ist maximal.

Wir müssen  $M$  kennen, um das ideale  $k$  zu kennen:

$$k = \frac{\pi}{2\theta} - \frac{1}{2} = \frac{\pi}{4 \arcsin\left(\sqrt{\frac{M}{N}}\right)} - \frac{1}{2} \leq \frac{\pi}{4} \sqrt{\frac{N}{M}}, \quad \text{da } \arcsin x > x$$

Mit Hilfe der von verbesserten Algorithmen kann man aber auch  $M$  über die QFT finden.

## III.3 Der Shor-Algorithmus

QA 13

Durchbruch: Primzahlzerlegung einer Zahl  $N$  in polynomialer Zeit.

Bedeutung: Eines der wenigen Probleme, an dem Mathematiker, Bankiers und Militärs gleichzeitig Interesse haben. Zahlentheorie / Kryptographie.

Beispiel: Bank macht eine große Zahl  $N$  öffentlich, die der Internetkunde zum Verschlüsseln seiner Nachrichten benutzt. Die Nachricht kann nur entschlüsselt werden, wenn man die Primfaktoren (privater Schlüssel) der großen Zahl kennt. Genauer: RSA-Verschlüsselung, braucht einige Zahlentheorie, siehe Mermin 3.2-4

Klassisch: Es existiert (noch?) kein effizienter Algorithmus zur Primzahlzerlegung. Naiv: Zahlen bis  $N^{1/2}$  ausprobieren  $\Rightarrow T \sim \text{Exp}(\text{Log}[N]/2)$ . Der beste ist das allgemeine Zahlkörpersieb.  $T \sim \text{Exp}(\text{Log}[N]^{1/3})$  . (Erklärung: „rational sieve“ in wikipedia)

Schwieriges Problem – der Quantenalgorithmus auch nicht trivial... An die Arbeit!

Der Kern des Algorithmus besteht aus 2 Elementen:

1. Zahlentheorie: Primzahlzerlegung auf Finden der Periodizität bestimmter Funktionen zurückführen
2. Periode finden = Fourier-Transformation. Es existiert ein sehr effizienter Algorithmus für Quantencomputer, die „Quanten-Fourier-Transformation“

Siehe Stolze & Suter, 8.3, Ekert & Josza, Rev. Mod. Phys. 68, 733 (1996)

# Hilfsmittel I: Euklidischer Algorithmus (ca 300 v. Chr)

QA 14

$N > y$  sind ganze Zahlen und wir suchen  $g$ , den größten gemeinsamen Teiler  $\text{ggT}(N, y)$

$\Rightarrow N - k y, \quad k \in \mathbf{N}$  sind Vielfache von  $g$

Es sei  $r = N - k y < y$  der Rest der Division  $N/y$

- Falls  $r = 0$ : Problem gelöst,  $\text{ggT} = y$
- Falls  $r \neq 0$ :  $\text{ggT}(y, r) = \text{ggT}(N, y) = g!$  Denn  $N / g = (k y + r) / g = k y/g + r/g \in \mathbb{Z}$   
wiederholen bis gelöst.

Beispiel:  $N = 100, y = 35$ , wir suchen  $g = \text{ggT}(100, 35)$

1.  $r = 30 \Rightarrow N' = 35, y' = 30$ , suche  $g = \text{ggT}(35, 30)$
2.  $r' = 5 \Rightarrow N' = 30, y' = 5$ , suche  $g = \text{ggT}(30, 5)$
3.  $r'' = 0 \Rightarrow g' = y' = 5$ , d.h. der  $\text{ggT}(100, 35) = 5$ .

Der Euklidische Algorithmus ist auch heute noch eine effiziente Methode, um den  $\text{ggT}$  zu finden.

# Hilfsmittel II: Modulares Exponentieren

QA 15

$a^x \bmod N$  (d.h. wir suchen den Rest der Division  $a^x/N$ )

Die Ordnung  $r$  von  $a \bmod N$  ist definiert als die kleinste Zahl  $r$ , für die  $a^r \bmod N = 1$  gilt.

## Beispiele

Ordnung von  $11^r \bmod 15 = 1 \Rightarrow r=2$

$\Rightarrow a^r = kN + 1$  und  $a^{r+1} \bmod N = (kNa + a) \bmod N = a$

d.h.  $F_N(x) = a^x \bmod N$  ist periodisch mit Periode  $r$  ( $F_N(r+1) = F_N(1)$ ).

$r \leq N$ , weil  $F_N(x)$  der Rest einer Division durch  $N$  ist.

Die Periode  $r$  werden wir mit der Quanten-Fourier-Transformation finden. Dies ist der schwierige Teil des Shor-Algorithmus

1. Wir wollen  $N$  zerlegen.
2. Wir wählen eine Zahl  $a < N$ .
  - Wenn  $\text{ggT}(a, N) > 1$  prima, dies ist Primteiler. Das wäre verdammt viel Glück.
  - Es sei  $\text{ggT}(a, N) = 1$ . Wir finden die Ordnung  $a^r = 1 \pmod N$  (mit QC)

Mögliche Ergebnisse für  $r$ :

- a.  $r$  ist ungerade (uninteressant)
- b.  $r$  ist gerade und  $a^{r/2} \pmod N = -1$  (uninteressant)
- c.  $r$  ist gerade und  $a^{r/2} \pmod N \neq -1$ , (Bsp:  $11^1 \pmod{15} = -4$  oder  $+11$ )  
mit  $a^r = 1 \pmod N \Rightarrow (a^r - 1) \pmod N = 0$   
 $(a^{r/2} + 1)(a^{r/2} - 1) \pmod N = 0$

$\Rightarrow$   $a^{r/2} \pm 1$  hat einen gemeinsamen Teiler mit  $N$  und den können wir mit Euklid ja einfach finden  $\rightarrow$  Primteiler.

Der Teiler ist  $\neq N$ , denn aus c. folgt:  $(a^{r/2} + 1) \pmod N \neq 0$ . Und  $(a^{r/2} - 1) \pmod N \neq 0$ , denn sonst wäre  $a^{r/2} \pmod N = 1$   $\rightarrow$   $r/2$  wäre Ordnung. Widerspruch.



Beispiel:  $N=15$ , Wähle  $a=11$ .  $\text{ggT}(15,11)=1$ .  $r=2$ , da  $11^2=121=8 \times 15+1$ .

Suche  $\text{ggT}(11^{r/2} \pm 1, 15)$ :  $\text{ggT}(10,15)=5$ ,  $\text{ggT}(12,15)=3 \Rightarrow 15=3 \times 5$

Es hätte auch für andere  $a=\{2,4,7,8,11,13,14\}$  mit Ordnung  $\{4,2,4,4,2,4,2\}$  geklappt, außer für 14, wo mit  $r=2$   $14^1 \bmod 15=-1 \rightarrow$  Fall b.

## Probabilistischer Algorithmus

In den Fällen a. und b. ist keine Aussage möglich! Wie oft tritt c. auf, wenn wir a zufällig wählen?

1. Falls  $N=p^s$  ( $p$  prim,  $s \geq 2$ ) kann  $p$  einfach bestimmt werden: Man versucht für alle  $s \leq \text{Log}[N]/\text{Log}[2]$  (von  $N \stackrel{?}{=} 2^s$ ), ob  $\text{Log}[N]/\text{Log}[p]=s \in \mathbb{Z}$
2. Falls  $N=p_1^{c_1} \dots p_m^{c_m}$  ( $m \geq 2$ ) und  $a$  zufällig aus dem Intervall  $1 < a < N-1$  gewählt ist mit  $\text{ggT}(N, a)=1$  und  $a^r \bmod N = 1$  folgt :

$\text{Prop}(r \text{ gerade und } a^{r/2} \bmod N \neq -1) \geq 1-2^{-m} \geq \frac{3}{4}$  (Beweis N&C, App. 4, Ekert& Josza App. B)

$\Rightarrow$  Die Chance, einen nichttrivialen Primfaktor zu finden, ist größer als 75%.

**Aber:** Der Shor-Algorithmus ist probabilistisch. Er findet das Ergebnis nur mit einer gewissen Wahrscheinlichkeit. Dann ist es aber korrekt.

# Zusammenfassung von Shors Strategie

QA 18

Gesucht: Primfaktoren einer Zahl  $N$

1. Überprüfe „triviale“ Fälle: Ist  $N$  gerade? Ist  $N = p^s$ ,  $p \geq 1$ ,  $s \geq 2$ ?
2. Wähle zufällige Zahl  $a$  mit  $1 < a \leq N-1$  und bestimme  $\text{ggt}(N, a)$
3. Falls  $\text{ggt}(N, a) = 1$  bestimme die Ordnung  $r$  von  $a^r \bmod N$ .
4. Falls  $r$  geradzahlig und  $a^{r/2} \bmod N \neq -1$  berechne  $\text{ggt}(a^{r/2} \pm 1, N)$  und überprüfe, ob das Ergebnis ein Faktor von  $N$  ist.

Ggf. wiederholen von 2. bis 4.

Die Aufgabe des Quantencomputers liegt im effizienten Auffinden der Periode  $r$  von  $F_N(x) = a^x \bmod N$  mit Hilfe der Quanten-Fourier-Transformation.

## III.4 Quanten-Fourier-Transformation (QFT)

QA 19

Klassische, diskrete Fourier-Transformation:

$$y_k = \frac{1}{\sqrt{N}} \sum_{j=0}^{N-1} e^{2\pi i k \cdot j / N} \cdot x_j$$

Inverse Operation:  $x_j = \frac{1}{\sqrt{N}} \sum_{k=0}^{N-1} e^{-2\pi i j \cdot k / N} \cdot y_k$

In Matrix-Darstellung:  $\vec{y} = M \cdot \vec{x}$  mit den Matrix-Einträgen:  $M_{kj} = e^{2\pi i k \cdot j / N}$

⇒ Rechenaufwand:  $N^2$  Multiplikationen und Additionen.

Das geht noch schneller mit der Fast-Fourier-Transformation (FFT) nach Gauß, indem wir die Summe nach geraden und ungeraden  $j$  aufteilen und etwas umsortieren. Das ergibt 2 Fourier-Transformationen mit je  $(N/2)$  Matrix-Einträgen ⇒ Rechenaufwand  $2(N/2)^2$ . Durch Wiederholen dieser Halbierung (dafür muss  $N$  eine Zweierpotenz sein) erniedrigt sich der Rechenaufwand von  $N^2$  auf  $N \log(N)$ , wodurch die FFT von hohem praktischem Nutzen ist.

# Noch schneller: QFT

Betrachte einen  $N=2^n$ -dimensionalen Hilbert-Raum (n Qbits) und die unitäre Transformation, definiert als:

$$|j\rangle \xrightarrow{\text{QFT}} \frac{1}{\sqrt{N}} \sum_{k=0}^{N-1} e^{2\pi i j \cdot k / N} \cdot |k\rangle$$

Mit  $|j\rangle, |k\rangle$  dem j.ten bzw. k. Basisvektor des H-Raums

Diese Definition ist nützlich, denn ein beliebiger Quantenzustand mit Koeffizienten  $x_j$  geht über in

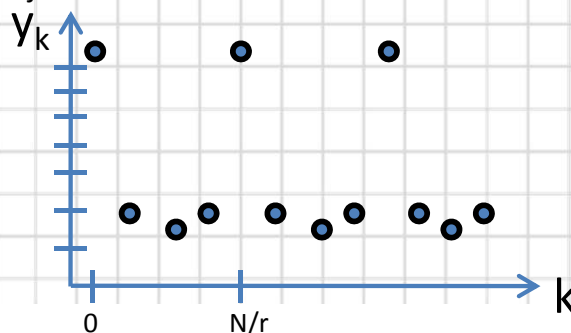
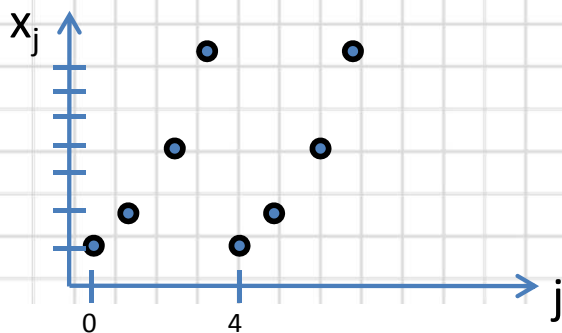
$$\begin{aligned} \sum_{j=0}^{N-1} x_j |j\rangle &\mapsto \frac{1}{\sqrt{N}} \sum_{j=0}^{N-1} x_j \sum_{k=0}^{N-1} e^{2\pi i j \cdot k / N} \cdot |k\rangle \\ &= \sum_{k=0}^{N-1} \underbrace{\frac{1}{\sqrt{N}} \sum_{j=0}^{N-1} x_j e^{2\pi i j \cdot k / N}}_{y_k} \cdot |k\rangle \end{aligned}$$

D.h. wenn wir die Wahrscheinlichkeit für ein gewisses  $|k\rangle$  messen, erhalten wir  $y_k$ , die FT von  $x_j$ .  
Praktischerweise wählt man für  $x_j = F_N(j) = a^j \bmod N$ .

Beispiel:  $N=15, a=2$

$j$	$x_j$
0	1
1	2
2	4
3	8
4	1

$\Rightarrow r=4$



# Implementierung der QFT

Binärdarstellung von  $|k\rangle = |k_1\rangle \otimes |k_2\rangle \dots \otimes |k_n\rangle$  mit  $|k_\nu\rangle = \{|0\rangle \text{ oder } |1\rangle\}$ , falls

$$k = \sum_{l=1}^n k_l 2^{n-l}, \text{ wie angenommen, nur klassische Werte annimmt. Analog } |j\rangle.$$

$$|j\rangle \mapsto \frac{1}{\sqrt{N}} \sum_{k=0}^{N-1} e^{2\pi i j \cdot k / N} \cdot |k\rangle = 2^{-\frac{n}{2}} \sum_{k_1=0}^1 \dots \sum_{k_n=0}^1 e^{2\pi i j \sum_{l=1}^n k_l 2^{n-l} / 2^n} \cdot |k_1\rangle \dots |k_n\rangle$$

$$= 2^{-\frac{n}{2}} \sum_{k_1=0}^1 \dots \sum_{k_n=0}^1 \bigotimes_{l=1}^n e^{2\pi i j k_l 2^{-l}} \cdot |k_l\rangle$$

$$= 2^{-\frac{n}{2}} \bigotimes_{l=1}^n \left( \sum_{k_l=0}^1 e^{2\pi i j k_l 2^{-l}} \cdot |k_l\rangle \right)$$

$$= 2^{-\frac{n}{2}} \bigotimes_{l=1}^n \left( |0\rangle_l + e^{2\pi i j 2^{-l}} |1\rangle_l \right)$$

Bsp: n=4-Qbit, j=3, l=2

Binär: j=0011,

$$j \cdot 2^{-2} = 0 \cdot 2^1 + 0 \cdot 2^0 + 1 \cdot 2^{-1} + 1 \cdot 2^{-2} = 3/4 = \underline{00.11}$$

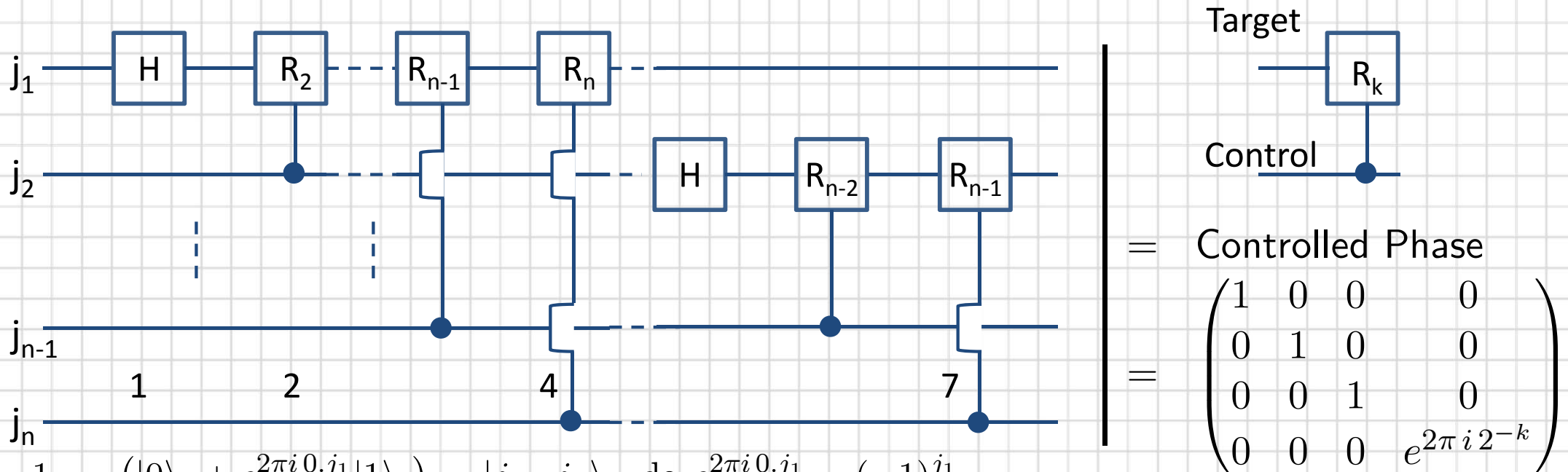
mit  $j \cdot 2^{-l} = \sum_{\nu=1}^n j_\nu 2^{n-\nu-l} =: \underbrace{j_1 j_2 \dots j_{n-l}}_{\text{ganze Zahl}} \cdot \underbrace{j_{n-l-1} \dots j_n}_{\text{rationale Zahl}}$  und  $e^{2\pi i \cdot \text{ganze Zahl}} = 1$

$$= 2^{-\frac{n}{2}} \left( |0\rangle_1 + e^{2\pi i 0 \cdot j_n} |1\rangle_1 \right) \left( |0\rangle_2 + e^{2\pi i 0 \cdot j_{n-1} j_n} |1\rangle_2 \right) \dots \left( |0\rangle_n + e^{2\pi i 0 \cdot j_1 j_2 \dots j_n} |1\rangle_n \right)$$

# Implementierung QFT

$$|j\rangle \mapsto 2^{-\frac{n}{2}} (|0\rangle_1 + e^{2\pi i 0.j_n} |1\rangle_1) (|0\rangle_2 + e^{2\pi i 0.j_{n-1}j_n} |1\rangle_2) \dots (|0\rangle_n + e^{2\pi i 0.j_1 j_2 \dots j_n} |1\rangle_n)$$

Der Schaltkreis, der diese Operation erzeugt, muss Qbit  $\times 1$  die bedingte Phase  $e^{2\pi i 0.j_n}$  geben (bedingt auf Zustand von Qbit  $n$ ), Qbit zwei hat schon 2 bedingte Phasen  $e^{2\pi i 0.j_{n-1}j_n}$ , Qbit  $n$   $e^{2\pi i 0.j_1 j_2 \dots j_n}$ . Der folgende Schaltkreis macht das fast, er gibt allerdings noch Qbit 1 die für Qbit  $n$  bestimmte Phase, 2 für  $n-1$  etc. Man braucht also noch viele Swaps.



- 1  $(|0\rangle_1 + e^{2\pi i 0.j_1} |1\rangle_1) |j_2 \dots j_n\rangle$  da  $e^{2\pi i 0.j_1} = (-1)^{j_1}$
- 2  $(|0\rangle_1 + e^{2\pi i 0.j_1 j_2} |1\rangle_1) |j_2 \dots j_n\rangle$
- 4  $(|0\rangle_1 + e^{2\pi i 0.j_1 \dots j_n} |1\rangle_1) |j_2 \dots j_n\rangle$
- 7  $(|0\rangle_1 + e^{2\pi i 0.j_1 \dots j_n} |1\rangle_1) (|0\rangle_2 + e^{2\pi i 0.j_2 \dots j_n} |1\rangle_2) |j_3 \dots j_n\rangle$

Anzahl Schritte QFT?

$$= n + (n-1) + \dots + 1 = n \cdot (n+1) / 2 \sim O(n^2)$$

$$\ll \text{FFT} = O(N \log(N)) = O(2^n \cdot n)$$

# Nebenbemerkungen

Auf welchem Ausgangszustand führen wir denn nun die QFT aus?

$$|j\rangle \xrightarrow{\text{QFT}} \frac{1}{\sqrt{N}} \sum_{k=0}^{N-1} e^{2\pi i j \cdot k/N} \cdot |k\rangle$$

Wir nehmen ein Targetregister mit n Qbits dazu und initialisieren

$$|0\rangle|0\rangle_T \stackrel{\text{Hadamard}}{=} \frac{1}{\sqrt{N}} \sum_{j=0}^{N-1} |j\rangle|0\rangle_T$$

Dann wird  $F_N(j) = a^j \text{ mod } N$  auf das Target angewendet

$$\frac{1}{\sqrt{N}} \sum_{j=0}^{N-1} |j\rangle|0\rangle_T \stackrel{F_N(j)}{=} \frac{1}{\sqrt{N}} \sum_{j=0}^{N-1} |j\rangle|a^j \text{ mod } N\rangle_T$$

Jetzt QFT

$$\frac{1}{\sqrt{N}} \sum_{j=0}^{N-1} |j\rangle|a^j \text{ mod } N\rangle_T \xrightarrow{\text{QFT}} \frac{1}{N} \sum_{j=0}^{N-1} \sum_{k=0}^{N-1} e^{2\pi i j \cdot k/N} |k\rangle|a^j \text{ mod } N\rangle_T$$

Wenn wir jetzt  $|k\rangle$  messen, bekommen wir mit hoher Wahrscheinlichkeit ein Vielfaches von  $N/r$ , denn der Koeffizient von  $|k\rangle$  ist dann besonders groß:

$$\text{Koeffizient} = \sum_{j=0}^{N-1} e^{2\pi i j \cdot k/N} |a^j \text{ mod } N\rangle_T \xrightarrow{k=N/r} \sum_{j=0}^{N-1} e^{2\pi i j/r} |a^j \text{ mod } N\rangle_T$$

$\square_j$  Periodisch in  $r!$